

DANIEL ŽIDEK

MODINS OSCILOSKOP

VÝVOJOVÉ POZNÁMKY A TECHNICKÁ DOKUMENTACE

---

# Modul osciloskopu pro modulární instrumentaci

---

*Autor*  
D. ŽIDEK

*Vedoucí práce*  
Zatím NENÍ

Září 2023

# Obsah

<b>Seznam obrázků</b>	<b>3</b>
<b>Seznam tabulek</b>	<b>4</b>
<b>1 Abstrakt</b>	<b>5</b>
<b>2 Úvod</b>	<b>6</b>
<b>3 Teoretický úvod</b>	<b>7</b>
3.1 Analogové osciloskopy . . . . .	7
3.2 Digitální paměťový osciloskop (DSO) . . . . .	8
3.3 Analogový front-end osciloskopu . . . . .	9
3.3.1 BNC a vstupní impedance, AC/DC/GND coupling . . . . .	9
3.3.2 Atenuátor . . . . .	9
3.3.3 Zesilovače . . . . .	10
3.3.4 analogově digitální převodník . . . . .	10
<b>Seznam použité literatury</b>	<b>11</b>
<b>Seznam zkratek</b>	<b>12</b>
<b>Slovník pojmů</b>	<b>12</b>

## Seznam obrázků

1	Blokový diagram analogového osciloskopu (převzato z [HowDoesOscilloscope])	7
2	Pasivní sonda (převzato z [2]) . . . . .	7
3	Blokový diagram digitálního osciloskopu (převzato z [3]) . . . . .	8
4	Příklad realizace vstupu osciloskopu . . . . .	9

## Seznam tabulek

# 1 Abstrakt

Tato práce se zabývá návrhem a realizací osciloskopu pod otevřenou licencí CERN-OHL-S v2. Výsledkem by měl být osciloskop v Eurocard formátu, s šířkou pásma alespoň 60MHz, 2 kanály a cenou do 12 tisíc CZK. Tato práce dokumentuje proces vývoje, rozhodnutí a další poznámky týkající se Modlins Osciloskopu. Kromě toho zde dokumentuji i proces seznamování se se zpracováním rychlých analogových signálů a práce s FPGA - celý projekt vzniká jako záminka naučit se něco nového. Celý projekt je dostupný na GitHubu: [zidekd/OpenOscilloscopeModule](https://github.com/zidekd/OpenOscilloscopeModule).

## 2 Úvod

Celý projekt začínám pro to, abych si zkusil něco nového. Selhal a zkusil to znovu. Ve výsledku bych rád disponoval šasím podobným PXI od National Instruments a několika moduly pro něj. Jmenovitě je zatím plánovaný osciloskop a laboratorní zdroj. Všechny přístroje budou disponovat univerzálním protokolem pro komunikaci (kód tak bude moci být znovupoužitelný), komunikačními linkami a především obslužným software pro MS Windows (XP a 10), GNU+Linux a MacOS. Řídící jednotka bude moci sloužit také jako server, který by dovozoval obsluhu přístrojů nejen lokálně, přes USB, WiFi či LAN ale i sdílet přístroje reverzním tunelem. Zde bude otázka zabezpečení, nicméně takový software by měl dovolovat přístup více uživatelů s různými oprávněními (číst data z přístrojů, měnit jejich nastavení, ...). To by mohlo být příhodné ve výuce, či na pracovištích s možností vzdálené práce.

Formát Eurocard jsem vybral pro to, protože mi přijde nejvhodnější. Je tedy ještě potřeba domyslet použití konektorů a komunikačních protokolů, ale o tom potom. :) Eurocard standard dovoluje použití modulů, jež jsou ukládány do šasí které lze následně připevnit do 19 palcového racku. Velikost racku jsou obvykle násobky tří, tedy 3U, 6U, atd.

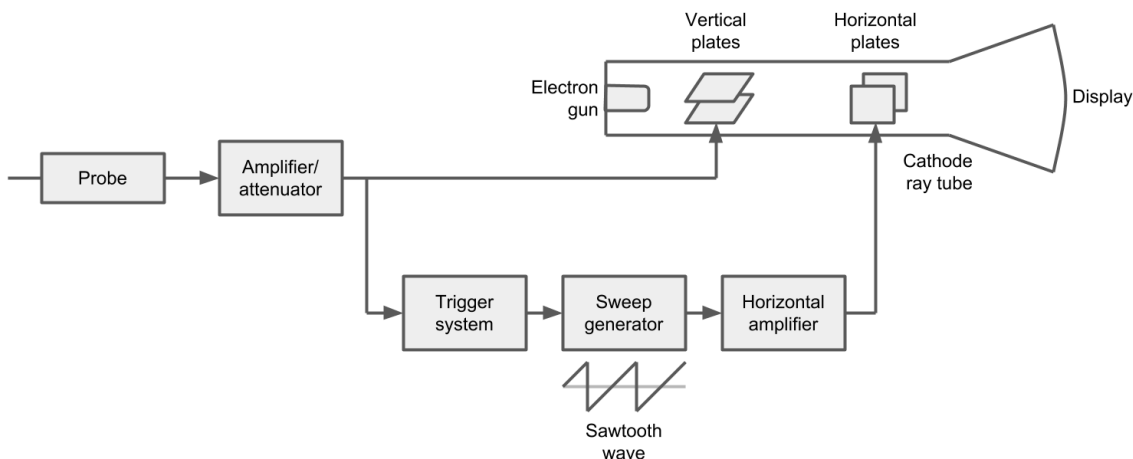
Co se obslužného software týče tak by moduly měly podporovat ovládání skrz Python API, vizuální grafické rozhraní připomínající ovládáním běžných laboratorních přístrojů a také by měly moci být ovládány skrze vizuální editor zlů (podobný Node-RED, LabVIEW...). Ovládání skrze Python API, GUI i Node-based editor bude možné jak lokálně přes USB, WiFi a LAN tak i přes reverzní tunel, kdy potom lze ovládat přístroje i na druhém konci světa. Ačkoliv jde o sdílení "pouze" připojených přístrojů, všechny aplikace schopné s takovým spojením interagovat budou podporovat správu oprávnění a logů. Řídící jednotka bude zaznamenávat všechny akce, dle úrovní, takže v závislosti na nastavení se budou ukládat různě závažné záznamy. Co do správy oprávnění tak k dispozici bude několik úrovní přístupů a ty půjde omezit jak na jednotlivé přístroje, tak na celé sestavy.

### 3 Teoretický úvod

V následující kapitole rozeberu funkci analogových a digitálních osciloskopů, pokusím se provést rozbor komerčních osciloskopů (alespoň dle reverzních schémat; u otevřených designů je tohle však mnohem jednodušší :D) a také porovnáám návrhy jednotlivých bloků, na základě čehož budu stavit vlastní návrh.

#### 3.1 Analogové osciloskopy

Základní princip funkce spočívá ve vychylování elektronového paprsku měřeným signálem a signálem časové základny (ČZ). Vychýlený elektronový paprsek následně dopadá na speciální stínítko, které se v místě dopadu rozsvěcí. Analogové osciloskopy se již nepoužívají, ačkoliv pozor, ne každý osciloskop s CRT obrazovkou je analogový osciloskop. Pokud dnes osciloskop s CRT obrazovkou potkáte, s největší pravděpodobností jde o analogový paměťový osciloskop, nebo zkrátka o digitální paměťový osciloskop (DSO). Rozdíly mezi nimi rozeberu později.



Obr.: 1: Blokový diagram analogového osciloskopu (převzato z [HowDoesOscilloscope])

Na obrázku 1 jako první vidíme blok "probe", tedy osciloskopickou sondu. Ta slouží k samotnému měření. Obvykle říkáme pouze "sonda", z kontextu je totiž jasné, o co jde. Nejčastěji se setkáme s pasivními sondami, (na obr. 2) to jsou sondy ideální na takové běžné měření do 500 MHz a pravděpodobně to jsou i sondy, co přišly s vaším osciloskopem. Dále máme atenuátory, což je část obvodu odpovědná za snížení amplitudy vstupního signálu. Je-li vstupní signál příliš velký, můžeme využít právě atenuátoru pro snížení amplitudy bez změny frekvence, či jiného zásahu do samotného tvaru sig-



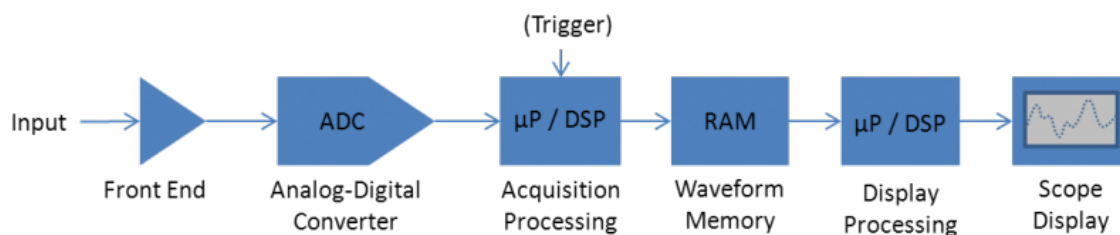
Obr.: 2: Pasivní sonda (převzato z [2])

nálu. Atenuátor se obvykle vyskytuje jen po pár krocích, obvykle 1:4, 1:10 a 1:20. V tomto blokovém schématu je spolu s atenuátorem spojen ještě zesilovač vertikální osy. Ten se zase stará o spojitou regulaci signálu, abychom například využili celou výšku zobrazovadla a to i signálem s nízkou amplitudou. Ze zesilovače signál jde dále do triggeru. Jeden z nejčastějších obvodů pro spouštěcí systém je Schmittův klopný obvod. Ten slouží ke spuštění tzv. sweep generátoru, tedy generátoru časové základny (ČZ). Stejně jako u vstupního signálu i signál ČZ pokračuje do zesilovače a z něj na vychylovací destičky pro horizontální osu.

Analogové osciloskopy mají zásadní nevýhodu a to tu, že měřený průběh nelze zastavit, zpomalit nebo jinak upravovat. Ačkoliv ho lze zaznamenat například fotoaparátem či kamerou (a ano, tohle byl skutečně způsob jakým se dlouho průběhy zaznamenávaly) tak jeho analýza je poměrně obtížná a často nepřesná. Navíc zobrazit pouze periodické průběhy, takže se s nimi nepodíváme třeba ani na I<sup>2</sup>C komunikační sběrnice, jako jeden z mnoha příkladů s čímž se můžeme v elektrotechnické laboratoři setkat. Proto se začaly využívat digitální paměťové osciloskopy.

### 3.2 Digitální paměťový osciloskop (DSO)

Právě digitální paměťové osciloskopy řeší tyto nedostatky analogových osciloskopů. Jejich základní princip funkce zůstává totožný tomu u analogových osciloskopů, hlavní rozdíl však spočívá ve zobrazování a vzorkování. Zatím co analogový osciloskop využívá měřeného signálu pro zobrazení průběhu vychylováním elektronového paprsku, digitální osciloskopy využívají analogově digitální převodník (ADC) a číslicové techniky pro zpracování a zobrazení měřeného průběhu. Takto zachycený signál lze snáze uložit, analyzovat a jeho hlavní limitací je paměť osciloskopu a vzorkovací frekvence ADC. Sondu, atenuátor, zesilovač a trigger v téhle části vynechám a odkážu se na kapitolu analogových osciloskopů - 3.1.



Obr.: 3: Blokový diagram digitálního osciloskopu (převzato z [3])

Poté co je signál utlumen a zase zesílen na požadovanou úroveň, pokračuje do ADC, kde se navzorkuje. Hlavním parametrem ADC je vzorkovací frekvence, kvantizační úroveň a kvantizační šum. Vzorkovací frekvence **musí** být alespoň dvakrát větší jak frekvence měřeného průběhu. Jde o Nyquistovu frekvenci, pokud ji dosáhneme, dochází k úplnému a nevratnému zkreslení signálu [1].

$$f_{max} = \frac{f_s}{2}$$

V praxi však vzorkovací frekvence ADC bývá pěti až deseti násobek šířky pásma. Kvantizační úroveň je údaj o tom jaký nejmenší napěťový díl jsme schopni za-



chytit. Například 8-bit ADC je schopné popsat vstupní napětí až 256 hodnotami. Například ADC s full scale rozsahem 0 až 24V a 8 bity kvantizační úrovně má rozlišení 93,75mV.

$$U_{res} = \frac{U_{FS}}{2^n} = \frac{24}{2^8} = 0.09375$$

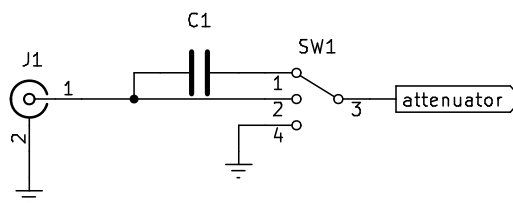
Kvantizační šum je šum zanášený samotným ADC. Po převedení na digitální signál je tato informace zpracována procesorovou jednotkou (MCU, CPU, FPGA...), uložena do paměti RAM a poté už je jen vykonstruován obraz a jeho zobrazení na displeji.

### 3.3 Analogový front-end osciloskopu

Zde rozeberu návrh obvodu atenuátoru, zesilovače, ADC, triggeru a dalších obvodů potřebných pro zpracování rychlých analogových signálů. Pokusím se na jít ukázky těchto obvodů v již existujících osciloskopech, provést jejich simulaci, porovnat je a na základě toho provést návrh vlastních. Cílem by měly být informované rozhodnutí při návrhu vlastního osciloskopu.

#### 3.3.1 BNC a vstupní impedance, AC/DC/GND coupling

Použití standardního BNC konektoru je jasné. Za ním však dochází ještě k výběru mezi 50 ohm a 1 Mohm vstupní impedancí. Zde je důležité použít kvalitní relé, či přepínač. Co se couplingu týče, DC volba je přímé propojení vstupního signálu na front-end. Pro AC coupling připojíme paralelně cca 100nF kondenzátor a pro GND coupling spojíme analogové obvody se zemí.



Obr.: 4: Příklad realizace vstupu osciloskopu

Je důležité upozornit že AC coupling nelze použít všude! AC coupling je vhodný pro velké DC offsety, například když se chceme podívat na zákrmy (běžně mohou mít do 100mV) na +12V větvi zdroje. Se signály jako je ten obdélníkový nám může použitý kondenzátor zkreslit signál a my si toho nemusíme ani všimnout. Pro menší DC offsety je tak vhodné použít jiných metod odečítání DC složky průběhu.

#### 3.3.2 Atenuátor

Zde amplitudu vhodně podělíme, to proto abychom mohli měřit signály i mimo rozsah ADC.

### **3.3.3 Zesilovače**

### **3.3.4 analogově digitální převodník**

## Seznam použité literatury

1. *Aliasing in ADCs: Not All Signals Are What They Appear to Be - Precision Hub - Archives - TI E2E Support Forums* [online]. 2015-09-04. [cit. 2023-09-05]. Dostupné z: [https://e2e.ti.com/blogs\\_/archives/b/precisionhub/posts/aliasing-in-adcs-not-all-signals-are-what-they-appear-to-be](https://e2e.ti.com/blogs_/archives/b/precisionhub/posts/aliasing-in-adcs-not-all-signals-are-what-they-appear-to-be).
2. SMIAL. *Deutsch: Standard-Tastkopf Für Oszilloskope Mit BNC-Stecker, Masseklemme Und Abgenommener Federklemme. Der Tastkopf Weist Ein Teilerverhältnis von 10:1 Auf Sowie Die Übliche Abgleichmöglichkeit Für Die Kapazität* [online]. 2020. [cit. 2023-09-04]. Dostupné z: [https://commons.wikimedia.org/wiki/File:Oszilloskop\\_Tastkopf\\_10x\\_IMGP3769\\_smial\\_wp.jpg](https://commons.wikimedia.org/wiki/File:Oszilloskop_Tastkopf_10x_IMGP3769_smial_wp.jpg).
3. *Sample Processing in a Digital Oscilloscope* [online]. [cit. 2023-09-05]. Dostupné z: <https://www.tek.com/en/blog/sample-processing-digital-oscilloscope>.

## Seznam zkratek

**ADC** analogově digitální převodník. 2, 8–10

**DSO** digitalální paměťový osciloskop. 2, 7, 8

**ČZ** časová základna. 7, 8, 12

## Slovník pojmů

**I<sup>2</sup>C** Inter-Integrated Circuit je sériová sběrnice používaná nejčastěji u nízkorychlostních periférií. 8

**trigger** Spouštěč, systém odpovědný za spuštění časové základny. 8